

# تعیین ضرایب شدت تنش در صفحات تابعی ارتوتروپیک با روش بدون المان گلرکین

محمود شریعتی<sup>۱</sup>، محمدباقر نظری<sup>۲</sup>، مسعود مهدیزاده رخی<sup>۳</sup>

۱ استاد، دانشکده مهندسی مکانیک، دانشگاه فردوسی مشهد، مشهد

۲ استادیار، دانشکده مهندسی مکانیک، دانشگاه صنعتی شهرورد، شهرورد

۳ استادیار، گروه مهندسی رباتیک، دانشگاه صنعتی شهرورد، شهرورد، shahrood.ac.ir  
mmrokhi@shahroodut.ac.ir

تاریخ دریافت: ۱۳۹۵/۱۰/۱۴

تاریخ پذیرش: ۱۳۹۶/۰۷/۰۴

## چکیده

روش‌های تولید مواد تابعی سبب می‌شود رفتار این مواد غیر ایزوتروپ باشد. در این مقاله از روش بدون المان گلرکین برای مطالعه شکست مواد تابعی ارتوتروپیک استفاده شده است. در این روش محاسبه عددی مشتق میدان‌های اصلی و کمکی کرنش به‌سادگی انجام می‌شود، حال آنکه روش المان محدود و فرم توسعه‌یافته آن با مشکلاتی همراه است. بعلاوه در این مقاله یک انتگرال پایستار جدید برای محاسبه پارامترهای شکست در مواد غیرهمگن ارائه شده است که فرم یکسانی برای بارگذاری مکانیکی و حرارتی دارد. این شکل جدید از انتگرال برهم‌کنش دارای ترم‌هایی با تعبیر فیزیکی مشخص بوده و برای برهم‌کنش میدان‌های خطی بر میدان الاستیک دارای ترم‌های ثابت است و به‌طور سیستماتیک قابل تعمیم می‌باشد. در این مقاله، ضرایب شدت تنش در مواد تابعی ارتوتروپیک با به‌کارگیری این انتگرال برهم‌کنش محاسبه شده است. برای گسسته‌سازی معادلات حاکم از روش بدون المان گلرکین استفاده شده است. در چند مثال اثر تغییر خصوصیات مواد بر ضرایب شدت تنش بررسی شده است. مقایسه نتایج با مقادیر گزارش شده در مقالات موجود بیانگر دقت قابل قبول رابطه ارائه شده است.

## واژگان کلیدی

انتگرال پایستار، ترک، ضریب شدت تنش، مواد مرکب تابعی ارتوتروپیک، روش بدون المان گلرکین

## ۱. مقدمه

ساختار میکروسکوپی در این مواد سبب می‌شود خصوصیات ماکروسکوپی با تغییرات پیوسته داشته باشند. کاهش تنش‌های پسماند و افزایش مقاومت اتصال از جمله خصوصیات قابل توجه مواد تابعی است. همچنین کاربرد مناسب این مواد منجر به کاهش ضریب تمرکز تنش و ضریب شدت تنش در بارگذاری‌های مکانیکی

تحولات اخیر در فرایندهای ساخت سبب گسترش کاربرد مواد مرکب تابعی در تولید قطعات صنعتی شده است. مواد تابعی ایزوتروپیک موادی هستند که خواص آنها با استفاده از یک تابع ریاضی در امتداد یک یا چند بعد هندسی ماده تغییر می‌کند و در هر نقطه از ماده خواص مستقل از جهت می‌باشند. تغییر تدریجی

ارتوتروپیک را مورد تحلیل و بررسی قرار دادند. علاوه بر این، روش المان محدود توسعه یافته نیز به طور گسترده برای تحلیل مسائل شکست ترمومالاستیک مواد تابعی مورد استفاده قرار گرفته است [۱۱-۱۲].

روش آیزوژئومتریک توسعه یافته نیز توسط بایسته و همکاران [۱۳] و باردوج و همکاران [۱۴] برای تحلیل مسائل شکست مواد تابعی در معرض بارگذاری حرارتی و مکانیکی استفاده شده است. روش بدون المان گلرکین روشی مناسب برای تحلیل مسائل مکانیک شکست است. این روش برای تحلیل شکست مواد تابعی آیزوتروپیک تحت بار مکانیکی [۱۵] و تنش‌های حرارتی [۱۶-۱۷] مورد استفاده قرار گرفته است. روش بدون المان گلرکین نسبت به روش‌های دیگر نرخ همگرایی بالا و سازگاری بالاتری دارد و می‌تواند اعوجاج‌های بزرگ ماده را به راحتی مدل کند [۱۸]. کوهکن و همکاران [۱۹] از روش بدون المان پتروف - گلرکین برای تحلیل مسائل شکست در مواد تابعی آیزوتروپیک استفاده کردند. گاگ و پنت [۲۰] نیز با استفاده از روش بدون المان گلرکین بهبود یافته برای شبیه سازی شکست ترمومالاستیک در مواد تابعی آیزوتروپیک استفاده کردند. آنها برای محاسبه ضرایب شدت تنش از روش انتگرال برهمنکنش استفاده نمودند.

در این مقاله، روش بدون المان گلرکین برای بررسی شکست مواد تابعی ارتوتروپیک به کار گرفته شده است. در روش بدون المان گلرکین محاسبه عددی مشتق میدان‌های اصلی و کمکی کرنش به راحتی انجام می‌شود که در روش المان محدود و فرم توسعه یافته آن با مشکلاتی همراه است. علاوه بر این، فرم جدیدی از انتگرال برهمنکنش استخراج شده است که عبارت‌های آن دارای تغییر فیزیکی واضح است و برای برهمنکش میدان‌های خطی بر میدان الاستیک دارای ترمومال است و به طور سیستماتیک قابل تعمیم می‌باشد. بخش‌های مختلف مقاله به صورت زیر است:

در بخش ۲ معادلات حاکم بر ترک در مواد تابعی ارتوتروپیک آمده است. در بخش ۳ درباره فرمول‌بندی انتگرال برهمنکنش، عبارت‌های مختلف آن و میدان کمکی بحث شده است. بخش ۴ شامل توضیحاتی در مورد روش بدون المان گلرکین و مدلسازی ترک در این روش است. بخش ۵ شامل نتایج عددی، تحلیل نتایج و جنبه‌های قابل ذکر آنها می‌شود. در بخش ۶ نیز نتیجه‌گیری ارائه شده است.

و حرارتی می‌شود. طبیعت روش‌های تولید مواد تابعی سبب می‌شود خصوصیات قطعات ساخته شده غیر ایزوتروپیک باشد. مثلاً قطعاتی که با روش اسپری پلاسمای تولید می‌شوند؛ ساختار لایه‌ای دارند که سفتی در جهت لایه‌ها بیشتر از جهت عمود بر آنهاست. از طرفی، موادی که طی فرایند رسوب بخار ساخته می‌شوند، ساختار ستونی دارند که منجر به استحکام بیشتر در جهت ضخامت می‌گردد. در نظر گرفتن خصوصیات ارتوتروپیک برای این مواد می‌تواند تقریب خوبی از غیر ایزوتروپی به وجود آمده در روش‌های تولید مذکور باشد. چون مواد تابعی به صورت پوشش‌هایی با ضخامت کم در نظر گرفته می‌شوند، استحکام آنها به تغییرات ساختاری حساس است. از این‌رو مطالعه ترک در این سازه‌ها از موضوعات قابل توجه می‌باشد.

گو و آسارو [۱] خمین چهار نقطه‌ای یک نمونه از جنس مواد تابعی ارتوتروپیک را به صورت تحلیلی بررسی نمودند. از ترک و اردگن با استفاده از معادلات انتگرالی، ضریب شدت تنش برای ترک‌های مود I [۲] و مود مختلط [۳] در محیط نامحدود از مواد تابعی ارتوتروپیک را به دست آورند. رائو و رحمان [۴] و کیم و پائولینو [۵] با کاربرد انتگرال برهمنکنش در روش المان محدود، ضرایب شدت تنش در یک محیط محدود دو بعدی از مواد تابعی ارتوتروپیک را محاسبه نمودند. کیم و پائولینو با کاربرد روش انتگرال J [۶] و روش بسته‌شدن ترک [۷] ضرایب شدت تنش در این مواد را تعیین کردند.

کاربرد روش انتگرال J مستلزم انتگرال‌گیری عددی از انرژی کرنشی روی سطوح ترک است که مشکلاتی به همراه دارد. از طرفی، فرم متناول روش بسته‌شدن ترک برای المان‌های تکین نوک ترک ارائه شده است که کاربرد آن را به روش المان محدود منحصر می‌کند. علاوه بر این، ضرایب شدت تنش در این روش‌ها کوپل هستند؛ به طوری که محاسبه آنها به کاربرد روش‌های عددی حل معادلات غیرخطی نیاز دارد. چن با کاربرد انتگرال برهمنکنش و روش بدون المان گلرکین ضریب شدت تنش برای یک ترک فصل مشترک بین پوشش مواد تابعی ارتوتروپیک و هسته همگن را محاسبه نمود [۸]. دگ نیز ضریب شدت تنش مود I در مواد تابعی ارتوتروپیک تحت بار حرارتی گذرا را با کاربرد انتگرال J محاسبه و اثر تغییر خصوصیات ماده روی ضریب شدت تنش را بررسی نمود [۹]. دگ و همکاران [۱۰] با استفاده از روش المان محدود و بهره‌گیری از انتگرال J ترک‌های مایل در مواد تابعی

$$\sigma_{11} = \frac{1}{\sqrt{2\pi r}} [K_I f_{11}^I(\mu_1^{\text{tip}}, \mu_2^{\text{tip}}, \theta) + K_{II} f_{11}^{II}(\mu_1^{\text{tip}}, \mu_2^{\text{tip}}, \theta)] \quad (7)$$

$$\sigma_{22} = \frac{1}{\sqrt{2\pi r}} [K_I f_{22}^I(\mu_1^{\text{tip}}, \mu_2^{\text{tip}}, \theta) + K_{II} f_{22}^{II}(\mu_1^{\text{tip}}, \mu_2^{\text{tip}}, \theta)] \quad (7)$$

$$\sigma_{12} = \frac{1}{\sqrt{2\pi r}} [K_I f_{12}^I(\mu_1^{\text{tip}}, \mu_2^{\text{tip}}, \theta) + K_{II} f_{12}^{II}(\mu_1^{\text{tip}}, \mu_2^{\text{tip}}, \theta)] \quad (7)$$

در معادلات فوق،  $f_{ij}(\mu_1^{\text{tip}}, \mu_2^{\text{tip}}, \theta)$  توابع زاویه‌ای استاندارد برای ترک در محیط الاستیک ارتوتروپیک همگن هستند که به صورت زیر تعریف می‌شوند [۲۲].

$$f_{11}^I(\mu_1^{\text{tip}}, \mu_2^{\text{tip}}, \theta) = \operatorname{Re} \left[ \frac{\mu_1^{\text{tip}} \mu_2^{\text{tip}}}{\mu_1^{\text{tip}} - \mu_2^{\text{tip}}} \right] \left( \frac{\mu_2^{\text{tip}}}{\sqrt{\cos\theta + \mu_2^{\text{tip}} \sin\theta}} - \frac{\mu_1^{\text{tip}}}{\sqrt{\cos\theta + \mu_1^{\text{tip}} \sin\theta}} \right) \quad (8)$$

$$f_{11}^{II}(\mu_1^{\text{tip}}, \mu_2^{\text{tip}}, \theta) = \operatorname{Re} \left[ \frac{1}{\mu_1^{\text{tip}} - \mu_2^{\text{tip}}} \right] \left( \frac{\mu_2^{\text{tip}}}{\sqrt{\cos\theta + \mu_2^{\text{tip}} \sin\theta}} - \frac{\mu_1^{\text{tip}}}{\sqrt{\cos\theta + \mu_1^{\text{tip}} \sin\theta}} \right) \quad (9)$$

$$f_{22}^I(\mu_1^{\text{tip}}, \mu_2^{\text{tip}}, \theta) = \operatorname{Re} \left[ \frac{\mu_1^{\text{tip}} \mu_2^{\text{tip}}}{\mu_1^{\text{tip}} - \mu_2^{\text{tip}}} \right] \left( \frac{\mu_1^{\text{tip}}}{\sqrt{\cos\theta + \mu_1^{\text{tip}} \sin\theta}} - \frac{\mu_2^{\text{tip}}}{\sqrt{\cos\theta + \mu_2^{\text{tip}} \sin\theta}} \right) \quad (10)$$

$$f_{22}^{II}(\mu_1^{\text{tip}}, \mu_2^{\text{tip}}, \theta) = \operatorname{Re} \left[ \frac{1}{\mu_1^{\text{tip}} - \mu_2^{\text{tip}}} \right] \left( \frac{1}{\sqrt{\cos\theta + \mu_2^{\text{tip}} \sin\theta}} - \frac{1}{\sqrt{\cos\theta + \mu_1^{\text{tip}} \sin\theta}} \right) \quad (11)$$

$$f_{12}^I(\mu_1^{\text{tip}}, \mu_2^{\text{tip}}, \theta) = \operatorname{Re} \left[ \frac{\mu_1^{\text{tip}} \mu_2^{\text{tip}}}{\mu_1^{\text{tip}} - \mu_2^{\text{tip}}} \right] \left( \frac{1}{\sqrt{\cos\theta + \mu_2^{\text{tip}} \sin\theta}} - \frac{1}{\sqrt{\cos\theta + \mu_1^{\text{tip}} \sin\theta}} \right) \quad (12)$$

$$f_{12}^{II}(\mu_1^{\text{tip}}, \mu_2^{\text{tip}}, \theta) = \operatorname{Re} \left[ \frac{1}{\mu_1^{\text{tip}} - \mu_2^{\text{tip}}} \right] \left( \frac{\mu_1^{\text{tip}}}{\sqrt{\cos\theta + \mu_1^{\text{tip}} \sin\theta}} - \frac{\mu_2^{\text{tip}}}{\sqrt{\cos\theta + \mu_2^{\text{tip}} \sin\theta}} \right) \quad (13)$$

## ۲. مکانیک شکست مواد مرکب تابعی ارتوتروپیک

در یک ماده ارتوتروپیک رابطه تنش - کرنش الاستیک خطی به صورت زیر است [۲۱]:

$$\varepsilon_{ij} = S_{ijkl} \sigma_{kl}, (i, j, k = 1, 2, 3) \quad (1)$$

که در آن،  $\varepsilon_{ij}$  تانسور کرنش و  $S_{ijkl}$  تانسور نرمی است. معمولاً برای بیان ساده تانسور نرمی از نمایش فشرده آن به فرم زیر استفاده می‌شود.

$$\varepsilon_i = a_{ij} \sigma_j, a_{ij} = a_{ji} \quad (i, j = 1, 2, \dots, 6) \quad (2)$$

در این رابطه، ضرایب نرمی  $a_{ij}$  به خصوصیات الاستیک ماده بستگی دارد. همچنین داریم:

$$\begin{aligned} \varepsilon_1 &= \varepsilon_{11}, \varepsilon_2 = \varepsilon_{22}, \varepsilon_3 = \varepsilon_{33} \\ \varepsilon_4 &= 2\varepsilon_{23}, \varepsilon_5 = 2\varepsilon_{13}, \varepsilon_6 = \varepsilon_{12} \\ \sigma_1 &= \sigma_{11}, \sigma_2 = \sigma_{22}, \sigma_3 = \sigma_{33} \\ \sigma_4 &= 2\sigma_{23}, \sigma_5 = 2\sigma_{13}, \sigma_6 = \sigma_{12} \end{aligned} \quad (3)$$

در حالت خاصی از مسائل صفحه‌ای که یک صفحهٔ تقاضن موازی با صفحهٔ میانی در تنش صفحه‌ای و کرنش صفحه‌ای است؛  $a_{ij}$  در رابطهٔ ۲ به شش ثابت الاستیک کاهش می‌یابد که برای حالت تنش صفحه‌ای به صورت (۴) و  $a_{ij}$  ( $i, j = 1, 2, 6$ ) برای حالت کرنش صفحه‌ای به صورت (۴) بیان می‌شود [۲۱].

$$b_{ij} = a_{ij} - \frac{a_{i3} a_{j3}}{a_{33}} \quad (i, j = 1, 2, 6) \quad (4)$$

رابطهٔ تنش - کرنش را می‌توان به صورت زیر بازنویسی کرد.

$$\varepsilon_i = b_{ij} \sigma_j \quad (5)$$

در شکل ۱ یک محیط دوبعدی از مواد تابعی ارتوتروپیک نشان داده شده است که حاوی ترکی می‌باشد. مسائل الاستیستیت دوبعدی غیرهمگن بر حسبتابع تحلیلی  $\Phi_k(z_k)$  بیان می‌شود که در آن  $z_k = x_k + i y_k$  متغیرهای مختلف است. در این رابطه  $x_k = x + \alpha_k y$  و  $y_k = \beta_k y$ . پارامترهای  $\alpha_k$  و  $\beta_k$  بخش‌های حقیقی و موهومی  $\mu_k = \alpha_k + i \beta_k$  هستند که ریشه‌های معادله مشخصه زیر با بخش موهومی مثبت می‌باشند [۲۱].

$$a_{11}\mu^4 - 2a_{16}\mu^3 + (2a_{12} + a_{66})\mu^2 - 2a_{26}\mu + a_{22} = 0 \quad (6)$$

ثابت‌های معادله مشخصه در نوک ترک محاسبه می‌شوند. برای مود مختلف، میدان تنش در حوزهٔ نوک ترک به صورت ۷ است [۲۲].

پایستار الاستیسیته پدید می‌آید. در این بخش روند به دست آوردن انتگرال مذکور برای مواد تابعی ارتوتروپیک بررسی می‌شود. انتگرال  $J$  روشی برای محاسبه نرخ رهاسازی انرژی کرنشی بر واحد مساحت سطوح ترک خورده در ماده است. فرم معمول انتگرال  $J$  برای یک ترک با بخش انتهایی مستقیم و بدون اعمال نیرو به سطح آن به صورت زیر است [۵].

$$J = \lim_{\Gamma_s \rightarrow 0} \int_{\Gamma_s} (W\delta_{ij} - \sigma_{ij}u_{i,1}) n_j d\Gamma_s \quad (20)$$

در این رابطه،  $n$  بردار یکه و عمود رو به خارج منحنی و چگالی انرژی کرنشی مکانیکی به صورت زیر است:

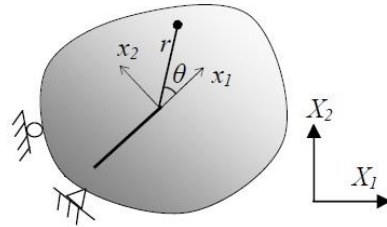
$$W = \frac{1}{2} \sigma_{ij} \varepsilon_{ij} \quad (21)$$

به دلیل محاسبه آسان‌تر و دقیق‌تر انتگرال‌های سطح به صورت عددی مناسب است انتگرال خطی ۲۰ به صورت یک انتگرال ناحیه‌ای معادل بیان شود تشن، کرنش و جابه‌جایی‌ها برای این عبارت انتگرالی، در اطراف ترک از روش بدون المان گلرکین محاسبه می‌شوند. برای تبدیل فرم کانتوری انتگرال  $J$  به یک فرم ناحیه‌ای معادل انتگرال کانتوری زیر تعریف می‌شود [۵].

$$I = \oint_{\Gamma} (W\delta_{ij} - \sigma_{ij}u_{i,1}) m_j q d\Gamma \quad (22)$$

که در آن،  $\Gamma = \Gamma_0 + \Gamma + \Gamma - \Gamma_S$  و  $m_i$  بردار یکه و عمود رو به خارج کانتور  $\Gamma$  می‌باشد (یعنی  $m_i = n_j$  روی  $\Gamma_0$  و  $m_i = -n_j$  روی  $\Gamma_S$  (شکل ۲ را ببینید). در این رابطه،  $q$  تابع وزنی دلخواه و همواری است که از  $q=1$  روی  $\Gamma_0$  تا  $q=0$  روی  $\Gamma_S$  تغییر می‌کند. با حدگیری  $\Gamma_S \rightarrow 0$  داریم.

$$\begin{aligned} \lim_{\Gamma_S \rightarrow 0} I &= \lim_{\Gamma_S \rightarrow 0} \oint_{\Gamma} (W\delta_{1j} - \sigma_{1j}u_{1,1}) m_j q d\Gamma \\ &= \lim_{\Gamma_S \rightarrow 0} \left( \oint_{\Gamma_0 + \Gamma^+ + \Gamma^- - \Gamma_S} (W\delta_{1j} - \sigma_{1j}u_{1,1}) m_j q d\Gamma \right) \\ &= \lim_{\Gamma_S \rightarrow 0} \left( \oint_{\Gamma_0 + \Gamma^+ + \Gamma^-} (W\delta_{1j} - \sigma_{1j}u_{1,1}) m_j q d\Gamma \right. \\ &\quad \left. - \oint_{\Gamma_S} (W\delta_{1j} - \sigma_{1j}u_{1,1}) n_j q d\Gamma \right) \\ &= \lim_{\Gamma_S \rightarrow 0} \left( \oint_{\Gamma_0 + \Gamma^+ + \Gamma^-} (W\delta_{1j} - \sigma_{1j}u_{1,1}) m_j q d\Gamma \right. \\ &\quad \left. - \oint_{\Gamma_S} (W\delta_{1j} - \sigma_{1j}u_{1,1}) n_j q d\Gamma \right) \end{aligned} \quad (23)$$



شکل ۱. محیط دو بعدی ماده تابعی حاوی ترک و دستگاههای مختصات

میدان جابه‌جایی در حوزه نوک ترک بدین صورت است [۲۲].

$$u_1 = \sqrt{\frac{2r}{\pi}} [K_I g_1^I(\mu_1^{\text{tip}}, \mu_2^{\text{tip}}, \theta) + K_{II} g_1^{II}(\mu_1^{\text{tip}}, \mu_2^{\text{tip}}, \theta)] \quad (14)$$

$$u_2 = \sqrt{\frac{2r}{\pi}} [K_I g_2^I(\mu_1^{\text{tip}}, \mu_2^{\text{tip}}, \theta) + K_{II} g_2^{II}(\mu_1^{\text{tip}}, \mu_2^{\text{tip}}, \theta)] \quad (15)$$

در عبارت‌های فوق،  $g_i(\mu_1^{\text{tip}}, \mu_2^{\text{tip}}, \theta)$  توابع زاویه‌ای استاندارد برای ترک در محیط الاستیک ارتوتروپیک همگن به صورت زیر هستند [۲۲].

$$g_1^I(\mu_1^{\text{tip}}, \mu_2^{\text{tip}}, \theta) = Re \left[ \frac{1}{\mu_1^{\text{tip}} - \mu_2^{\text{tip}}} (\mu_1^{\text{tip}} p_2 \right. \\ \left. - \sqrt{\cos\theta + \mu_2^{\text{tip}} \sin\theta} - \mu_1^{\text{tip}} p_1 \sqrt{\cos\theta + \mu_1^{\text{tip}} \sin\theta}) \right] \quad (16)$$

$$g_1^{II}(\mu_1^{\text{tip}}, \mu_2^{\text{tip}}, \theta) = Re \left[ \frac{1}{\mu_1^{\text{tip}} - \mu_2^{\text{tip}}} (p_2 \right. \\ \left. - \sqrt{\cos\theta + \mu_2^{\text{tip}} \sin\theta} - p_1 \sqrt{\cos\theta + \mu_1^{\text{tip}} \sin\theta}) \right] \quad (17)$$

$$g_2^I(\mu_1^{\text{tip}}, \mu_2^{\text{tip}}, \theta) = Re \left[ \frac{1}{\mu_1^{\text{tip}} - \mu_2^{\text{tip}}} (\mu_1^{\text{tip}} q_2 \right. \\ \left. - \sqrt{\cos\theta + \mu_2^{\text{tip}} \sin\theta} - \mu_1^{\text{tip}} q_1 \sqrt{\cos\theta + \mu_1^{\text{tip}} \sin\theta}) \right] \quad (18)$$

$$g_2^{II}(\mu_1^{\text{tip}}, \mu_2^{\text{tip}}, \theta) = Re \left[ \frac{1}{\mu_1^{\text{tip}} - \mu_2^{\text{tip}}} (q_2 \right. \\ \left. - \sqrt{\cos\theta + \mu_2^{\text{tip}} \sin\theta} - q_1 \sqrt{\cos\theta + \mu_1^{\text{tip}} \sin\theta}) \right] \quad (19)$$

با اینکه گرادیان خصوصیات ماده روی مرتبه تکینی میدان تشن در حوزه نوک ترک اثر نمی‌گذارد، مقدار ضریب شدت تشن از آن اثر می‌پذیرد. از این‌رو در مواد تابعی پارامترهای شکست علاوه بر بارگذاری خارجی و هندسه تابع گرادیان خصوصیات ماده نیز می‌باشد.

### ۳. فرمول‌بندی انتگرال برهم‌کنش

انتگرال برهم‌کنش در واقع برهم‌کنش دو حالت بارگذاری مستقل و قابل قبول برای سازه حاوی ترک است که در انتگرال‌های

$$+ \int_A (\sigma_{ij} u_{i,1}^{\text{aux}} + \sigma_{ij}^{\text{aux}} u_{i,1} - W^{\text{int}} \delta_{1j})_j q dA \\ = M_1 + M_2$$

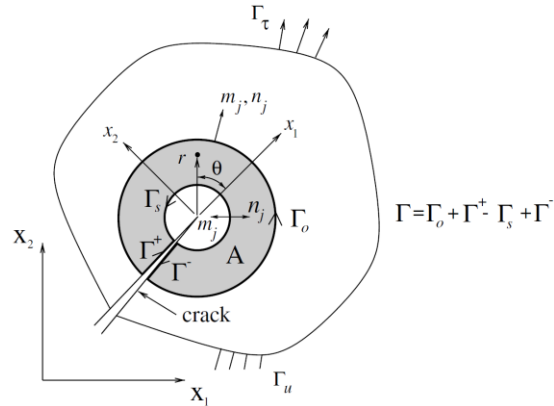
بسته به انتخاب میدان‌های کمکی، فرم عمومی انتگرال برهمکنش را می‌توان به صورت عبارت‌های ساده‌تر بیان نمود.

### ۱-۳. میدان کمکی

برای کاربرد انتگرال برهمکنش باید میدان‌های کمکی جابه‌جایی  $u_{\text{aux}}$ ، کرنش  $\varepsilon_{\text{aux}}$  و تنش  $\sigma_{\text{aux}}$  در نظر گرفته شوند. در تحلیل مکانیک شکست ماده تابعی، معمولاً از میدان‌های کمکی مواد همگن استفاده می‌شود. اگر میدان‌های حوزه نوک ترک در مواد ارتوتروپوپیک همگن با تانسور ساختاری ثابت به عنوان میدان کمکی انتخاب شود، رابطه تعادل  $(\sigma_{ij,j}^{\text{aux}} = 0)$  با فرض عدم وجود نیروی کالبدی) و شرایط سازگاری  $(\varepsilon_{ij}^{\text{aux}} = \frac{1}{2}(u_{i,j}^{\text{aux}} + u_{j,i}^{\text{aux}}))$  ارضا می‌شود. اما رابطه ساختاری پیوستار ماده تابعی نقض می‌شود؛ یعنی  $\sigma_{ij}^{\text{aux}} \neq C_{ijkl}(x) \varepsilon_{ij}^{\text{aux}}$ . چون در حالت کلی برای پیوستار ماده تابعی رابطه  $(C_{ijkl})_{tip} \neq C_{ijkl}(x)$  برقرار است. با توجه به این توضیح، رابطه  $\sigma_{ij}^{\text{aux}} \neq \sigma_{ij}^{\text{aux}} \varepsilon_{ij}$  برقرار می‌شود. بنابراین رابطه انتگرال برهمکنش با در نظر گرفتن میدان کمکی همگن (فرمول‌بندی تانسور ساختاری ثابت) بدین صورت به دست می‌آید.

$$M = \int_A (\sigma_{ij} u_{i,1}^{\text{aux}} + \sigma_{ij}^{\text{aux}} u_{i,1} - W^{\text{int}} \delta_{1j}) q_j dA \\ - \int_A (W^{\text{int}})^{\text{expl}} q dA + \\ \int_A \frac{1}{2} \{(\sigma_{ij} - \sigma_{ij}^{\text{tip}}) \varepsilon_{ij,1}^{\text{aux}} \\ - (\sigma_{ij}^{\text{aux}}(x)) \\ - \sigma_{ij}^{\text{aux}}) \varepsilon_{ij,1}\} q dA \quad (۲۹)$$

رابطه فوق با اعمال رابطه تعادل و رابطه ساختاری میدان‌های اصلی و کمکی به دست آمده است. البته انتگرال برهمکنش فوق شامل گرادیان میدان کرنش اصلی است که به خاطر استفاده از میدان کمکی همگن برای پیوستار تابعی به وجود می‌آید و سبب کاهش دقت محاسبه انتگرال برهمکنش و نهایتاً پارامتر شکست می‌شود. انتگرال فوق شامل سه عبارت مجاز است. انتگرال اول معادل انتگرال برهمکنش برای مواد همگن است. عبارت دوم شامل مشتقهای صریح  $W^{\text{int}}$  نسبت به مختصه مکانی است. این عبارت در فرم ناحیه‌ای انتگرال  $J$  برای ماده تابعی نیز به وجود می‌آید. عبارت سوم ناشی از کاربرد تانسور ساختاری ثابت در نوک



شکل ۲. ناحیه انتگرال گیری [۵]

با توجه به اینکه روی مرز  $\Gamma_0$   $q=0$  است و با فرض بدون تنش بودن سطوح ترک، رابطه فوق به صورت زیر ساده می‌شود.

$$J = - \lim_{\Gamma_s \rightarrow 0} I = - \lim_{\Gamma_s \rightarrow 0} \oint_{\Gamma} (W \delta_{1j} - \sigma_{ij} u_{i,1}) m_j q d\Gamma \quad (۲۴)$$

با کاربرد قضیه دیورژانس و با توجه تغییرات تابع وزنی  $q$  انتگرال ناحیه‌ای معادل به صورت زیر به دست می‌آید [۵].

$$J = \int_A (\sigma_{ij} u_{i,1} - W \delta_{1j}) q_j dA \\ + \int_A (\sigma_{ij} u_{i,1} - W \delta_{1j})_j q dA \quad (۲۵)$$

که در آن،  $A$  ناحیه محصور به منحنی است. برای یک سیستم خطی، انتگرال  $J$  برای اعمال همزمان با رگذاری‌های اصلی و کمکی به صورت زیر قابل بیان است [۵].

$$J^s = \int_A [(\sigma_{ij} + \sigma_{ij}^{\text{aux}})(u_{i,1} + u_{i,1}^{\text{aux}}) \\ - 0.5(\sigma_{ik} + \sigma_{ik}^{\text{aux}})(\varepsilon_{ik} + \varepsilon_{ik}^{\text{aux}}) \delta_{1j}] q_j dA \\ + \int_A [(\sigma_{ij} + \sigma_{ij}^{\text{aux}})(u_{i,1} + u_{i,1}^{\text{aux}}) \\ - 0.5(\sigma_{ik} + \sigma_{ik}^{\text{aux}})(\varepsilon_{ik} + \varepsilon_{ik}^{\text{aux}}) \delta_{1j}]_j q dA \quad (۲۶)$$

انتگرال فوق را می‌توان بدین صورت تجزیه نمود.

$$J^s = J + J^{\text{aux}} + M \quad (۲۷)$$

که در آن، انتگرال  $J^{\text{aux}}$  مربوط به میدان کمکی و انتگرال  $J$  مربوط به میدان اصلی است. انتگرال برهمکنش  $M$  نیز به صورت زیر به دست می‌آید [۵].

$$M = \int_A (\sigma_{ij} u_{i,1}^{\text{aux}} + \sigma_{ij}^{\text{aux}} u_{i,1} - W^{\text{int}} \delta_{1j}) q_j dA \quad (۲۸)$$

حالی که رابطه ۳۲ برای بارگذاری حرارتی باید دوباره به دست آید [۸]. وجود عبارت انتگرال سوم در رابطه فوق، برای  $r \rightarrow 0$  در ادامه ثابت می شود. برای میدان های کمکی ضریب شدت تنش،  $\varepsilon_{ij}^{\text{aux}}$  و  $u_i^{\text{aux}}$ ، ترم اول از عبارت دوم برای  $r \rightarrow 0$  به صورت زیر نوشته می شود.

$$\begin{aligned} \lim_{A \rightarrow 0} \int_A (\sigma_{ij} - \sigma_{ij}^{\text{tip}}) \varepsilon_{ij,1}^{\text{aux}} q dA &= \\ \lim_{r \rightarrow 0} \int_r \int_\theta (\sigma_{ij} - \sigma_{ij}^{\text{tip}}) \varepsilon_{ij,1}^{\text{aux}} q r dr d\theta &= \\ \lim_{r \rightarrow 0} \int_r \int_\theta (C_{ijkl}(x) \\ - (C_{ijkl})_{\text{tip}}) \varepsilon_{kl} \varepsilon_{ij,1}^{\text{aux}} q r dr d\theta &= \\ \lim_{r \rightarrow 0} \int_r \int_\theta O(r) O(r^{-\frac{1}{2}}) O(r^{-\frac{3}{2}}) q r dr d\theta &= \\ \lim_{r \rightarrow 0} O(r) &= 0 \end{aligned} \quad (33)$$

### ۲-۳. استخراج ضرایب شدت تنش

رابطه بین انتگرال  $J$  و ضرایب شدت تنش  $K_I$  و  $K_{II}$  به صورت زیر قابل بیان است.

$$J = c_{11} K_I^2 + c_{12} K_I K_{II} + c_{22} K_{II}^2 \quad (34)$$

$$c_{11} = -\frac{a_{22}^{\text{tip}}}{2} \operatorname{Im}\left(\frac{\mu_1^{\text{tip}} + \mu_2^{\text{tip}}}{\mu_1^{\text{tip}} \mu_2^{\text{tip}}}\right), \quad (35)$$

$$c_{12} = -\frac{a_{22}^{\text{tip}}}{2} \operatorname{Im}\left(\frac{1}{\mu_1^{\text{tip}} \mu_2^{\text{tip}}}\right) \\ + \frac{a_{11}^{\text{tip}}}{2} \operatorname{Im}(\mu_1^{\text{tip}} \mu_2^{\text{tip}}), \quad (36)$$

$$c_{22} = -\frac{a_{11}^{\text{tip}}}{2} \operatorname{Im}(\mu_1^{\text{tip}} + \mu_2^{\text{tip}}) \quad (37)$$

با توجه به رابطه ۳۴ انتگرال بر هم کنش  $M$  بر حسب ضرایب شدت تنش  $K_I$  و  $K_{II}$  به صورت زیر به دست می آید:

$$M = 2c_{11}K_I K_I^{\text{aux}} + c_{12}(K_I K_{II}^{\text{aux}} + K_{II} K_I^{\text{aux}}) \\ + 2c_{22}K_{II} K_{II}^{\text{aux}} \quad (38)$$

با انتخاب صحیح میدان های کمکی (مودهای خالص I و II)، ضرایب شدت تنش  $K_I$  و  $K_{II}$  با استفاده از انتگرال برهم کنش  $M$  به صورت زیر محاسبه می شوند.

$$M^{(1)} = 2c_{11}K_I + c_{12}K_{II}, (K_I^{\text{aux}} = 1, K_{II}^{\text{aux}} = 0) \quad (39)$$

$$3M^{(2)} = c_{12}K_I + 2c_{22}K_{II}, (K_I^{\text{aux}} = 0, K_{II}^{\text{aux}} = 1) \quad (40)$$

### ۴. روش بدون المان گلرکین

برای حل معادلات دیفرانسیل جزئی مسائل الاستیسیته دو بعدی روش بدون المان گلرکین بکار برده شده است [۲۳]. در این روش

ترک (مشابه مواد همگن) برای مواد غیر همگن است. عبارتهاي دوم و سوم به طور طبیعی در فرمولبندی انتگرال برهم کنش ظاهر می شوند و برای حفظ استقلال از سطح و همگرایی انتگرال باید در نظر گرفته شوند. جملات عبارت انتگرال برهم کنش به صورت زیر قابل توضیح است. عبارت  $\sigma_{ij}^{\text{tip}}$  حاصل از کاربرد میدان کرنش اصلی و تansور ساختاری همگن نوک ترک است؛ یعنی  $(\sigma_{ij} - \sigma_{ij}^{\text{tip}})_{\text{tip}}(x) = (C_{ijkl})_{\text{tip}} \varepsilon_{kl}^{\text{aux}}$ . عبارت  $(\sigma_{ij} - \sigma_{ij}^{\text{tip}})_{\text{tip}}(x)$  بیان کننده اختلاف میدان تنش اصلی و میدان تنش همگن فوق می باشد. از طرف دیگر،  $(\sigma_{ij}^{\text{aux}}(x) - \sigma_{ij}^{\text{aux}}(x))_{\text{tip}}(x) = C_{ijkl}(x) \varepsilon_{kl}^{\text{aux}}$ . عبارت  $C_{ijkl}(x) \varepsilon_{kl}^{\text{aux}}$  میدان تنش کمکی و میدان تنش کمکی ماده تابعی می باشد. بدینهی است عبارتهاي دوم و سوم برای مواد همگن صفر است. در رابطه ۲۹ مشتق صریح  $(W_{,1}^{\text{int}})_{\text{expl}}$  نسبت به  $x_1$  است و به صورت زیر بیان می شود.

$$\begin{aligned} \left( \frac{\partial W^{\text{int}}}{\partial x_1} \right)_{\text{expl}} &= \frac{\partial W^{\text{int}}}{\partial Q_{11}} \frac{\partial Q_{11}}{\partial x_1} + \frac{\partial W^{\text{int}}}{\partial Q_{12}} \frac{\partial Q_{12}}{\partial x_1} \\ &+ \frac{\partial W^{\text{int}}}{\partial Q_{22}} \frac{\partial Q_{22}}{\partial x_1} + \frac{\partial W^{\text{int}}}{\partial Q_{66}} \frac{\partial Q_{66}}{\partial x_1} \end{aligned} \quad (30)$$

تابع چگالی انرژی کرنشی مکانیکی به صورت زیر قابل بیان است.

$$\begin{aligned} W^{\text{int}} = \frac{1}{2} &\left[ (Q_{11} + Q_{11}^{\text{tip}}) \varepsilon_{11} \varepsilon_{11}^{\text{aux}} \right. \\ &+ (Q_{22} + Q_{22}^{\text{tip}}) \varepsilon_{22} \varepsilon_{22}^{\text{aux}} \\ &+ (Q_{12} + Q_{12}^{\text{tip}}) (\varepsilon_{11} \varepsilon_{22}^{\text{aux}} \\ &+ \varepsilon_{22} \varepsilon_{11}^{\text{aux}}) \\ &\left. + 2(Q_{66} + Q_{66}^{\text{tip}}) \varepsilon_{12} \varepsilon_{12}^{\text{aux}} \right] \end{aligned} \quad (31)$$

در این دو رابطه، ماتریس  $Q$  معکوس ماتریس  $a$  در رابطه ۲ است. با انتخاب میدان های کمکی همگن، انتگرال برهم کنش توسط راثو و رحمان به صورت زیر ارائه شده است [۴].

$$\begin{aligned} M = \int_A &(\sigma_{ij} u_{i,1}^{\text{aux}} + \sigma_{ij}^{\text{aux}} u_{i,1} \\ &- W^{\text{int}} \delta_{1j}) q_{,j} dA \\ &+ \frac{1}{2} \int_A \{ \sigma_{ij} \varepsilon_{ij,1}^{\text{aux}} - \sigma_{ij,1}^{\text{aux}} \varepsilon_{ij} + \sigma_{ij}^{\text{aux}} \varepsilon_{ij,1} \\ &- \sigma_{ij,1} \varepsilon_{ij}^{\text{aux}} \} q dA \end{aligned} \quad (32)$$

با توجه به رابطه ساختاری  $\sigma_{ij} = C_{ijkl} \varepsilon_{kl}$  برای میدان های اصلی و کمکی، رابطه فوق با انتگرال برهم کنش ۲۹ معادل می باشد. اما شکل انتگرال رابطه ۲۹ برای بارگذاری حرارتی، ثابت است در

#### ۴-۲. گسسته سازی معادلات حاکم

روش بدون المان گلرکین برمبنای فرم ضعیف رابطه تعادل فرمول بندی می شود. فرض می شود توابع آزمون  $\eta^e, \eta^{th} \in H^1$  روی مزهای اصلی صفر باشند. با فرضیات فوق و استفاده از قضیه دیورزانس، معادلات به صورت زیر قبل بیان است [۱۵].

$$\int_{\Omega} D \nabla u \cdot \nabla \eta^e d\Omega - \int_{\Omega} b \eta^e d\Omega - \int_{\Gamma_t} \bar{t} \eta^e d\Gamma - \delta W_{ess} = 0 \quad (51)$$

به طوری که  $H^1$  نشان دهنده فضای سوبولف مرتبه یک است. برای اعمال شرایط مرزی اساسی از تعبیر فیزیکی ضرایب لاغرانژ استفاده می شود [۱۵]. از اینرو

$$\int_{\Gamma_u} \lambda^T (u - \bar{u}) d\Gamma \quad (52)$$

ضرایب لاغرانژ  $\lambda$  را می توان به صورت نیروهای هوشمندی در نظر گرفت که شرط  $u - \bar{u} = 0$  را ارضامی کنند. با جایگزینی تقریب تابع آزمون در فرم ضعیف معادلات، شکل نهایی معادلات گسسته به صورت زیر حاصل می گردد.

$$KU = F \quad (53)$$

$$K_{ij} = \int_{\Omega} DB_i^T B_j d\Omega \quad (54)$$

$$F_i = \int_{\Omega} b \varphi_i^T d\Omega - \int_{\Gamma_t} \bar{t} \varphi_i^T d\Gamma \quad (55)$$

$$B_i = \begin{bmatrix} \partial \phi_i / \partial x_1 & 0 \\ 0 & \partial \phi_i / \partial x_2 \\ \partial \phi_i / \partial x_2 & \partial \phi_i / \partial x_1 \end{bmatrix} \quad (56)$$

$$\varphi_i = \begin{bmatrix} \phi_i & 0 \\ 0 & \phi_i \end{bmatrix} \quad (57)$$

#### ۴-۳. مدلسازی ترک با روش بدون المان گلرکین

خصوصیات پیوستگی و مشتق پذیری تقریب حداقل مربعات متحرک به خصوصیات متناظر تابع پایه و تابع وزنی بستگی دارد. هرچند کاربرد تابع پایه و وزنی عمول منجر به پیوستگی و مشتق پذیری تقریب تقریب حداقل مربعات متحرک با دقت نسبتاً بالایی در محیطهای پیوسته شده است؛ اما توسعه این تقریب به نواحی دارای ناپیوستگی مثل ترکها و یا فصل مشترک مواد، نیازمند کاربرد روش های ویژه ای برای لحاظ کردن ناپیوستگی در تقریب می باشد. در روش های مرسوم، ناحیه تکیه گاهی گرهها در نزدیکی

برای ساخت مدل گسسته فقط به مجموعه ای از گرهها نیاز است. در روش بدون المان گلرکین تقریب حداقل مربعات متحرک منجر به پایداری تابع تقریب شده و کاربرد فرآیند گلرکین سبب به وجود آمدن سیستم دستگاه معادلات پایدار و خوش رفتار می شود.

#### ۴-۱. مرور روش بدون المان گلرکین

در روش بدون المان گلرکین، تابع تقریب  $u^h(x)$  در هر نقطه  $x \in \Omega$  به شکل آشنای زیر قابل بیان است [۱۵].

$$u^h(x) = \Phi^T(x)U \quad (41)$$

به طوری که  $U$  بردار پارامتری گرهی و  $\Phi^T(x) = [\phi_1(x) \ \phi_2(x) \ \dots \ \phi_n(x)]$  تابع شکل حداقل مربعات متحرک است که به صورت زیر تعریف می شود [۱۵].

$$\Phi^T(x) = \gamma^T(x)B(x) \quad (42)$$

$$A(x)\gamma(x) = p(x) \quad (43)$$

$$A(x) = P^T W(x)P \quad (44)$$

$$B(x) = P^T W(x) \quad (45)$$

و  $W(x) = \text{diag}[w(x-x_i)]$  تابع وزنی گره آم در نقطه  $x$  است.  $P(x)$  بردار توابع پایه است [۱۵].

$$P = \begin{bmatrix} P^T(x_1) \\ P^T(x_2) \\ \vdots \\ P^T(x_n) \end{bmatrix} \quad (46)$$

که در آن،  $n$  تعداد گرههایی است که نقطه  $x$  در ناحیه تکیه گاهی آنها قرار دارد. برای گرهی با موقعیت  $x$  اندازه ناحیه تکیه گاهی  $d$  به صورت زیر محاسبه می شود.

$$d_c d_s = a_s \quad (47)$$

که در آن،  $a_s$  ضریب بدون بعد شاعر ناحیه تکیه گاهی و  $d_c$  فاصله متوسط گرهی در اطراف نقطه  $x$  است که به صورت زیر بیان می شود [۱۵].

$$d_c = \frac{\sqrt{A_s}}{\sqrt{n_{A_s}} - 1} \quad (48)$$

که در آن،  $A_s$  اندازه تخمینی ناحیه تکیه گاهی است. با توجه به رابطه ۴۲ می توان مشتقهای تابع شکل را بدست آورد.

$$\Phi_{,i}^T(x) = \gamma_{,i}^T(x)B(x) + \gamma^T(x)B_{,i}(x) \quad (49)$$

$$A(x)\gamma_{,i}(x) = p_{,i}(x) - A_{,i}(x)\gamma(x) \quad (50)$$

با استفاده از تجزیه LU ماتریس  $A(x)$  و فرآیند جایگزینی، می توان ضرایب  $(x)$  و  $\gamma_{,i}$  را در معادلات ۴۹ و ۵۰ محاسبه نمود.

انتگرال  $\int$  از انتگرال گیری، گوس با هشت نقطه استفاده شده است. خصوصیات فیزیکی و مشتق آنها نیز در هر نقطه گوسی بهطور مستقیم محاسبه شده است.

### ۱-۵. صفحه مواد مرکب تابعی ایزوتروپیک دارای ترک مرکزی مایل

مطابق شکل ۴ صفحهای مربع شکل به ابعاد  $L=W=20$  واحد با ترک مرکزی به طولی برابر  $2a$  واحد و زاویه  $\gamma$  نسبت به محور  $X_1$  در نظر گرفته می‌شود. تحلیل در حالت تنش صفحهای و برای مقادیر مختلف  $\gamma$  انجام می‌شود. شرایط مرزی بهصورت صفر بودن جایه‌جایی قائم در امتداد لبه پایین صفحه و نیز صفر بودن جایه‌جایی افقی برای گره سمت چپ از لبه پایینی در گرفته شده است. ضریب پواسون برابر مقدار ثابت  $0.3/0$  و تغییرات مدول الاستیسیته در این صفحه بهصورت نمایی است. مقادیر زیر برای زاویه‌تمایل ترک نسبت به خط افق در نظر گرفته شده است.

$$E(X_1) = E(0)e^{0.25X_1} \quad (58)$$

$$\frac{\gamma}{\pi} = 0, 0.1, 0.2, 0.3, 0.4, 0.5 \quad (59)$$

در حالت اول، تنش اعمالی بر این صفحه بهصورت زیر است.

$$\sigma(X_1, L/2) = \varepsilon_0 E(0)e^{0.25X_1} \quad (60)$$

در جدول ۱ و نمودارهای شکل ۵، ضرایب شدت تنش مودهای I و II بهدست آمده برای زوایای تمایل ترک در حالت بارگذاری نمایی روی لبه بالایی ورق، با مقادیر تحلیلی مقایسه شده است. مقدار ضرایب شدت تنش بهصورت زیر بیان شده است. طبق جدول ۱، ضرایب شدت تنش محاسبه شده با مقادیر تحلیلی اطباق قابل قبولی دارد. البته با افزایش زاویه تمایل ترک و نزدیک شدن آن به یک ترک عمودی، دقت نتایج کاهش می‌یابد. در حالت دوم، تنش ثابت به لبه بالایی صفحه اعمال می‌شود. در جدول ۲ مقادیر ضرایب شدت تنش محاسبه شده برای حالت بارگذاری یکنواخت ارائه شده است. طبق نتایج، افزایش زاویه  $\gamma$  سبب کاهش ضریب شدت تنش مود I می‌شود. زیادشدن زاویه  $\gamma$  دارای دو اثر است: کاهش مدول الاستیسیته در حوزه نوک ترک و کاهش زاویه بین راستهای بارگذاری و ترک. هر دو عامل سبب کاهش مقدار ضریب شدت تنش مود I می‌شود.

$$K_n^- = \frac{K_-}{\varepsilon_0 E(0) \sqrt{\pi a}} \quad (61)$$

$$\sigma(X_1, L/2) = \sigma_0 \quad (62)$$

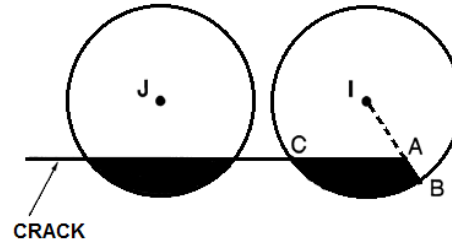
مرزهای غیرمحدب بر مبنای تئوری پرتوهای نوری تصحیح می‌گردد. اولین روشی که برای مدلسازی مرزهای غیرمحدب ارائه شد معیار دید می‌باشد [۲۳]. در این روش ساده، ناحیه تکیه‌گاهی گره‌ها محدود به حوزه دید از این گره می‌شود. در این روش تمام مرزهای داخلی و خارجی، از جمله ترک، مانند سطوح کدر در نظر گرفته می‌شوند. بنابراین حوزه دید (ناحیه تکیه‌گاهی) توسط این مرزها بریده و محدود می‌گردد. شرایط قرار گرفتن نقطه  $x$  در ناحیه تکیه‌گاهی یک گره مثل I یا J در شکل ۳ را می‌توان بهصورت زیر بیان نمود.

۱. نقطه  $x$  در ناحیه تکیه‌گاهی کامل گره (با فرض عدم

وجود مرزها) قرار داشته باشد

۲. پاره خط واصل نقطه  $x$  و گره، هیچ مرزی را قطع ننماید

در شکل ۳ نقاطی که در ناحیه هاشورخورده قرار دارند، از ناحیه تکیه‌گاهی گره‌های I و J حذف می‌شوند. در نتیجه اثر ناپیوستگی در تعریف توابع وزنی و شکل گرههایی نظیر I و J لحاظ می‌گردد.

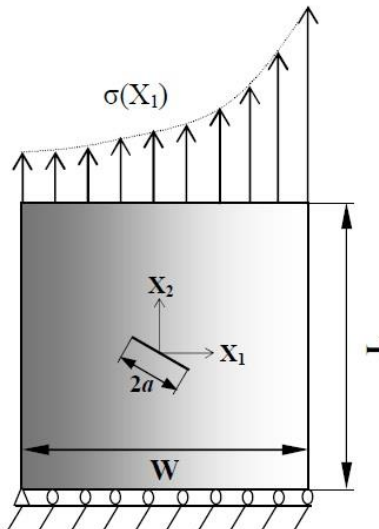


شکل ۳. محدودشدن ناحیه تکیه‌گاهی در اطراف ترک با کاربرد معیار دید

البته پرش جزئی ناحیه تکیه‌گاهی، ناشی از کاربرد معیار دید، برای گرههایی که ناحیه تکیه‌گاهی آنها شامل نوک ترک است رخ می‌دهد و منجر به ناپیوستگی‌هایی در تقریب اطراف نوک ترک می‌شود که با کاهش فاصله بین گره‌ها، ناپیوستگی نیز محدود می‌شود. تحقیقات نشان می‌دهد که با وجود تقریب‌های ناپیوسته‌ای که در اثر کاربرد معیار دید به وجود می‌آید، همگرایی حل حفظ می‌گردد [۲۴].

### ۵. نتایج عددی

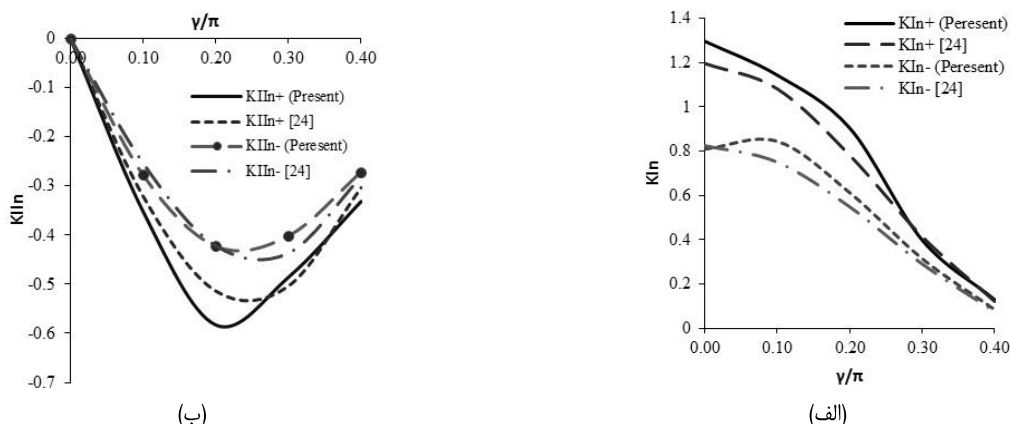
در مثال‌های ذکر شده، صفحهای از مواد مرکب تابعی حاوی ترک داخلی یا لبه‌ای در نظر گرفته شده است. ضخامت صفحه برای تحلیل تنش صفحهای بقدر کافی نازک فرض می‌شود. در ناحیه



شکل ۴. هندسه و بارگذاری صفحه دو بعدی دارای ترک مرکزی با زوایای مختلف  $\gamma$

جدول ۱. ضرایب شدت تنش در یک صفحه تابعی ایزوتروپیک در معرض بار نمایی حاوی ترک مرکزی با زوایای مختلف  $\gamma$

مقادیر تحلیلی [۲۴]				مقادیر محاسبه شده				$\frac{\gamma}{\pi}$
$K_{In}^+$	$K_{In}^-$	$K_{IIn}^+$	$K_{IIn}^-$	$K_{In}^+$	$K_{In}^-$	$K_{IIn}^+$	$K_{IIn}^-$	
۱/۱۹۶	+۰/۸۲۵	.	.	۱/۲۹۶	+۰/۸۰۹	.	.	.
۱/۰۸۱	+۰/۷۵۰	-۰/۳۲۱	-۰/۲۵۴	۱/۱۴۳	+۰/۸۴۴	-۰/۳۵۲	-۰/۲۷۸	+۰/۱
+۰/۷۸۱	+۰/۵۴۸	-۰/۵۱۴	-۰/۴۲۲	+۰/۹۰۴	+۰/۶۱۲	-۰/۵۸۳	-۰/۴۲۳	+۰/۲
+۰/۴۱۴	+۰/۲۹۰	-۰/۵۰۴	-۰/۴۳۷	+۰/۳۹۸	+۰/۳۱۴	-۰/۴۸۶	-۰/۴۰۲	+۰/۳
+۰/۱۲۱	+۰/۰۷۵	-۰/۳۰۴	-۰/۲۸۲	+۰/۱۲۹	+۰/۰۸۴	-۰/۳۳۲	-۰/۲۷۲	+۰/۴



شکل ۵. منحنی های ضرایب شدت تنش (الف) مد اول؛

(ب) مدد دوم در یک صفحه تابعی ایزوتروپیک در معرض بار نمایی حاوی ترک مرکزی بر حسب زوایای مختلف  $\gamma$

که روی صفحه بدون ترک کرنش واحد را ایجاد کند). شرایط مرزی صفحه نیز به این صورت است: در گره میانی لبه سمت چپ جابه جایی در جهت  $X_1$  و  $X_2$  صفر است و در گره میانی لبه سمت راست جابه جایی در جهت  $X_2$  صفر است. خصوصیات مواد براساس میانگین آنها بیان شده است. به طوری که،  $E$  مدول

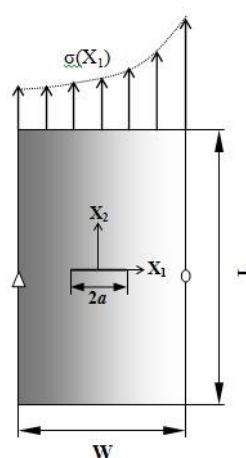
۵-۲. صفحه مواد ارتوتروپیک تابعی دارای ترک میانی  
در این مثال، یک صفحه محدود ساخته شده از ماده تابعی ارتوتروپیک شامل یک ترک میانی به طول  $2a$  مطابق شکل ۶ در نظر گرفته شده است که تحت بارگذاری کرنش ثابت در لبه بالایی قرار دارد (برای اعمال نیرو از میزان نیرویی استفاده می شود

2)  $j=1$  تعریف می‌شوند. این روابط برای حالت تنش صفحه‌ای به صورت زیر است [۲۵].

استیسیته مؤثر،  $v$  ضریب پواسون مؤثر و  $\kappa_0$  پارامتر برشی است که با استفاده از ثابت‌های  $E_{ij}$ ,  $G_{ij}$  و  $v_{ij} = v_{ji}/E_{jj}$  برای (i,

جدول ۲. ضرایب شدت تنش در یک صفحه تابعی ایزوتروپیک در معرض بار یکنواخت حاوی ترک مرکزی با زوایای مختلف  $\gamma$

مقادیر محاسبه شده					$\frac{\gamma}{\pi}$
$K_{In}^+$	$K_{In}^-$	$K_{IIn}^+$	$K_{IIn}^-$		
۱/۲۵۵۶	۰/۷۸۳۸	۰	۰		۰
۱/۱۰۷۴	۰/۸۱۷۷	-۰/۳۲۹۰	-۰/۲۴۹۳	۰/۱	
۰/۸۷۵۸	۰/۵۹۲۹	-۰/۵۲۴۸	-۰/۳۸۴۳	۰/۲	
۰/۳۸۵۶	۰/۳۰۴۲	-۰/۴۴۰۹	-۰/۳۶۷۷	۰/۳	
۰/۱۲۵۰	۰/۰۸۱۴	-۰/۳۲۱۷	-۰/۲۶۳۵	۰/۴	



شکل ۶. هندسه و بارگذاری صفحه دوبعدی دارای ترک مرکزی

ارائه شده است. طبق نتایج به دست آمده، با افزایش  $\beta$ ، ضریب شدت تنش در نوک سمت راست افزایش و در نوک سمت چپ کاهش می‌یابد. با توجه به قرار گرفتن مرکز مختصات در وسط ترک و نسبت مستقیم ضریب شدت تنش و مدول الاستیسیته در نوک ترک، این مسئله دور از انتظار نیست. در قسمت دوم، اثر ضریب پواسون مؤثر بر ضریب شدت تنش بررسی شده است. ضریب غیرهمگنی  $\beta$  ثابت و برای ضریب پواسون مؤثر  $v$  مقادیر مختلف فرض شده است. در جدول ۴ و شکل ۸ تغییرات ضریب شدت تنش نسبت به  $v$  نشان داده شده است. طبق نتایج، ضریب شدت تنش با افزایش  $v$  افزایش می‌یابد، در حالی که در مواد مرکب تابعی ایزوتروپیک در حالت تنش صفحه‌ای تغییرات ضریب پواسون روی مقدار ضریب شدت تنش اثری ندارد [۱۶].

$$E = \sqrt{E_{11} E_{22}} \quad (63)$$

$$v = \sqrt{v_{12} v_{21}} \quad (64)$$

$$\delta^4 = \frac{E_{11}}{E_{22}} = \frac{v_{12}}{v_{21}} \quad (65)$$

$$\kappa_0 = \frac{E}{2G_{12}} - v \quad (66)$$

$$\begin{aligned} \beta &= \frac{1}{W} \ln \left( \frac{E_{11} \left(\frac{W}{2}\right)}{E_{11} \left(-\frac{W}{2}\right)} \right) = \frac{1}{W} \ln \left( \frac{E_{22} \left(\frac{W}{2}\right)}{E_{22} \left(-\frac{W}{2}\right)} \right) \\ &= \frac{1}{W} \ln \left( \frac{G_{12} \left(\frac{W}{2}\right)}{G_{12} \left(-\frac{W}{2}\right)} \right) \end{aligned} \quad (67)$$

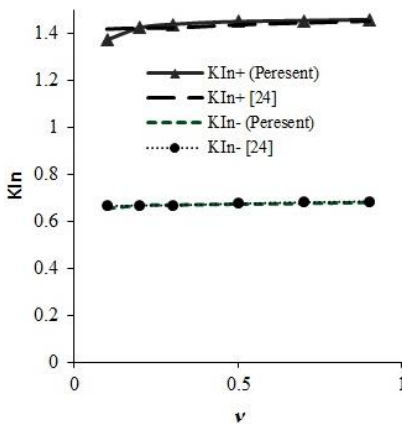
تغییرات پارامترهای  $E_{11}$ ,  $E_{22}$  و  $G_{12}$  به صورت تابع نمایی از  $X_1$  فرض شده است. همچنین  $v$  ثابت است. با در نظر گرفتن  $v = 0.3$  و  $\kappa_0 = 0.5$ ، ضریب شدت تنش برای مقادیر مختلف ضریب غیرهمگنی  $\beta$  به دست آمده و نتایج در جدول ۷ و شکل ۸

جدول ۳. ضرایب شدت تنش در یک صفحه تابعی ارتوتروپیک حاوی ترک مرکزی برای مقادیر مختلف ضریب غیرهمگنی  $\beta a$

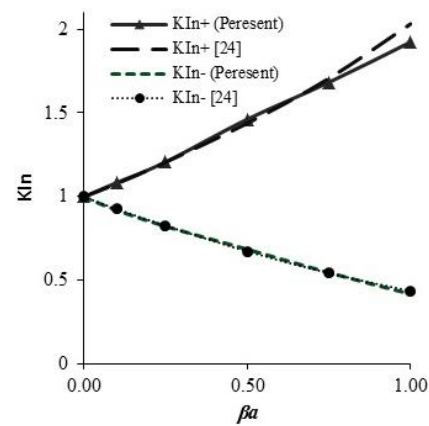
مقادیر گزارش شده [۲۴]		مقادیر محاسبه شده		$\beta a$
$K_{In}^-$	$K_{In}^+$	$K_{In}^-$	$K_{In}^+$	
۰/۹۹۶۹	۰/۹۹۶۹	۰/۹۹۷۲	۰/۹۹۷۱	.
۰/۹۲۴۷	۱/۰۷۵	۰/۹۱۷۳	۱/۰۸۱	۰/۱
۰/۸۲۴۵	۱/۲۰۴۳	۰/۸۲۰۸	۱/۲۰۵۲	۰/۲۵
۰/۶۷۰۶	۱/۴۳۷۱	۰/۶۸۳۲	۱/۴۶۰۸	۰/۵
۰/۵۴۰۴	۱/۷۰۵۵	۰/۵۴۳۲	۱/۶۸۲۱	۰/۷۵
۰/۴۳۳۵	۲/۰۳۱۸	۰/۴۱۵۳	۱/۹۳۳۰	۱

جدول ۴. ضرایب شدت تنش در یک صفحه تابعی ارتوتروپیک حاوی ترک مرکزی برای مقادیر مختلف  $\gamma$

مقادیر گزارش شده [۲۴]		مقادیر محاسبه شده		$\gamma$
$K_{In}^-$	$K_{In}^+$	$K_{In}^-$	$K_{In}^+$	
۰/۶۶۴۷	۱/۴۱۸۳	۰/۶۵۳۹	۱/۳۷۲	۰/۱
۰/۶۶۷۶	۱/۴۲۳۳	۰/۶۶۷۲	۱/۴۲۳۶	۰/۲
۰/۶۶۷۶	۱/۴۲۳۳	۰/۶۶۹۱	۱/۴۳۹۱	۰/۳
۰/۶۷۵۵	۱/۴۳۶۸	۰/۶۷۲۸	۱/۴۵۰۶	۰/۵
۰/۶۸۰۹	۱/۴۴۴۹	۰/۶۷۵۶	۱/۴۵۴۶	۰/۷
۰/۶۸۴۶	۱/۴۵۲۴	۰/۶۸۰۵	۱/۴۵۹۲	۰/۹



شکل ۸. منحنی های ضرایب شدت تنش در یک صفحه تابعی ارتوتروپیک حاوی ترک مرکزی بر حسب مقادیر مختلف  $\gamma$



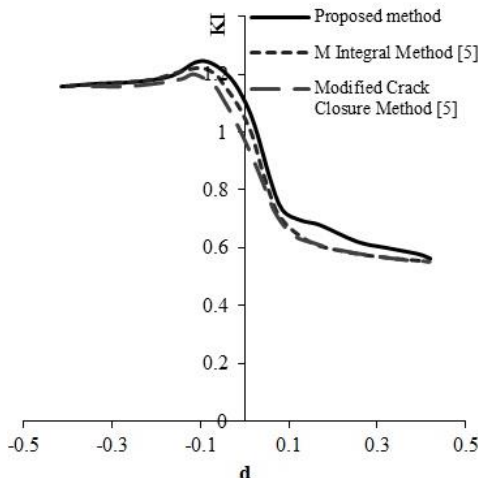
شکل ۷. منحنی های ضرایب شدت تنش در یک صفحه تابعی ارتوتروپیک حاوی ترک مرکزی بر حسب مقادیر مختلف ضریب غیرهمگنی  $\beta a$

در تحلیل آن هر سه لایه در نظر گرفته می شود. در هر دو مورد، تابع تانژانت هیپربولیک می تواند تغییرات خصوصیات مواد را بیان نماید. در این مثال، یک صفحه از مواد مرکب (مطابق شکل ۹) در نظر گرفته شده است که شامل یک ترک لبه ای است. در صفحه فوق، تغییرات مدول الاستیسیته و مدول برشی را می توان با تابع تانژانت هیپربولیک نمایش داد.

$$E_{11}(X_1) = \frac{E_{11}^+ + E_{11}^-}{2} + \frac{E_{11}^+ - E_{11}^-}{2} \tanh(\alpha(X_1 + d)) \quad (68)$$

### ۳-۵. صفحه مرکب لایه ای دارای ترک لبه ای

تحلیل ترک در سازه های مواد مرکب مستلزم لحاظ کردن طبیعت قطعه ای پیوسته خصوصیات مواد تشکیل دهنده آن است. فصل مشترک لایه های تشکیل دهنده سازه های مرکب موجب ناپیوستگی در خصوصیات می شوند و خطوط ناپیوستگی ضعیف را در ناحیه حل مدل این سازه ها به وجود می آورند. لحاظ کردن آنها در مدل نیازمند کاربرد روش های خاصی مثل روش پنالتی است. از طرف دیگر، در بسیاری از موارد یک لایه مواد مرکب تابعی بین دو لایه همگن از مواد تشکیل دهنده آن ساخته می شود و طبیعتاً

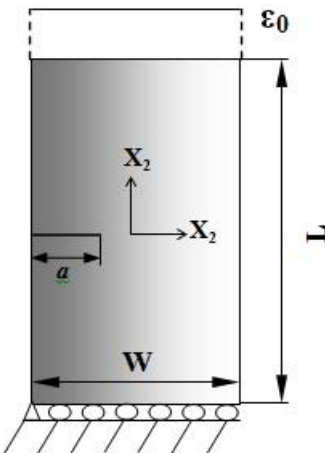


شکل ۱۰. تغییرات ضریب شدت تنش در صفحه مرکب لایه‌ای

طبق این نتایج، برای مقادیری از  $d$  که سبب دور شدن ناحیه گرادیان خصوصیات مواد از نوک ترک می‌شود، مقدار ضریب شدت تنش تقریباً یکسان است.

## ۶. نتیجه‌گیری

در این مقاله، یک انتگرال پایستار برای محاسبه پارامترهای شکست در مواد مرکب تابعی ارتوتروپیک ارائه شده است. کاربرد روش بدون المان گلگرکین نیز علاوه بر سادگی مدلسازی ترک، محاسبه مشتق میدان‌های کرنش کمکی و اصلی به طور عددی را در انتگرال برهمنکش تسهیل می‌کند. نتایج به دست آمده نشان می‌دهند که محاسبه ضرایب شدت تنش با به کارگیری رابطه انتگرال برهمنکش ارائه شده دقت قابل قبولی دارد. ارتوتروپیک بودن خواص ماده بر ضرایب شدت تنش اثر قابل توجه دارد. زاویه ترک و موقعیت نوک ترک اثر چشمگیری بر مقدار ضرایب شدت تنش مد I و مد II دارد. گرادیان مدول الاستیسیته روی ضریب شدت تنش اثر قابل توجهی دارد. بیشتر بودن مدول الاستیسیته در ناحیه بدون ترک سبب جابه‌جایی کمتر نقاط ناحیه نوک ترک و در نتیجه کاهش ضریب شدت تنش مود I می‌شود. در حالت تنش صفحه‌ای، ضریب شدت تنش در مواد تابعی ارتوتروپیک به تغییرات ضریب پواسون حساسیت چندانی ندارد. اگرچه این تغییرات در مواد تابعی ایزوتروپیک وجود ندارد. با استفاده از روش ارائه شده در این تحقیق می‌توان برای پیش‌بینی زاویه و مسیر رشد ترک در صفحات تابعی ارتوتروپیک در تحقیقات آینده استفاده کرد.



شکل ۹. هندسه صفحه مرکب لایه‌ای دارای ترک لبه‌ای

$$E_{22}(X_1) = \frac{E_{22}^+ + E_{22}^-}{2} + \frac{E_{22}^+ - E_{22}^-}{2} \tanh(\beta(X_1 + d)) \quad (69)$$

$$G_{12}(X_1) = \frac{G_{12}^+ + G_{12}^-}{2} + \frac{G_{12}^+ - G_{12}^-}{2} \tanh(\gamma(X_1 + d)) \quad (70)$$

در این روابط، ضرایب  $\alpha$ ،  $\beta$  و  $\gamma$  اندازه ناحیه ماده تابعی و  $d$  موقعیت وسط این ناحیه را مشخص می‌نمایند. در این مثال، ضریب پواسون ثابت و برابر  $0.3$  در نظر گرفته شده است. مسئله در حالت تنش صفحه‌ای و برای مقادیر زیر تحلیل شده است. خصوصیات ماده نیز به صورت متناسب تغییر می‌کند.

$$L/W=2, a/W=0.5, v_{12}=0.3, aa=\beta a=\gamma a=15.$$

$$(E_{11}^-, E_{11}^+) = (1,3), (E_{22}^-, E_{22}^+) = (1,3),$$

$$(E_{11}^-, E_{11}^+) = (1.25, 2.75), (G_{12}^-, G_{12}^+) = (1.5, 2.5)$$

با تغییر پارامتر  $d$  از  $-0.5$  تا  $0.5$ ، موقعیت نوک ترک از لایه همگن سمت چپ با گذر از ناحیه ماده تابعی به ناحیه سمت راست منتقل می‌گردد. البته باید توجه داشت روابط حوزه نوک ترک با فرض همگنی موضعی نوک ترک به دست آمده است. بنابراین گرادیان شدید خصوصیات ماده در نوک ترک در روابط مذکور لحاظ نمی‌گردد. این موضوع انتخاب ضرایب غیرهمگنی را برای نوک ترک واقع در ناحیه ماده تابعی با محدودیت مواجه می‌سازد. تغییرات ضریب شدت تنش مود I در نمودار شکل ۱۰ آمده و با نتایج ارائه شده توسط کیم و پائولینو [۵] مقایسه شده است. بایسته و محمدی [۱۱] از فرم غیرسازگار انتگرال برهمنکش استفاده کردند. در فرم غیرسازگار از میدان‌های تعادل و ساختاری مواد FG استفاده می‌شود. در نتیجه، رابطه سینماتیک بین مؤلفه‌های کرنش و گرادیان جابه‌جایی برقرار نیست [۵].

- [1] P. Gu, R. J. Asaro, Cracks in functionally graded materials, *International Journal of solids and structures*, Vol. 34, No. 1, pp. 1–17, 1997.
- [2] M. Ozturk, F. Erdogan, Mode I crack problem in an inhomogeneous orthotropic medium, *International Journal of Engineering Sciences*, Vol. 35, No. 9, pp. 869–883, 1997.
- [3] M. Ozturk, F. Erdogan, The mixed mode crack problem in an inhomogeneous orthotropic medium, *International Journal of Fracture*, Vol. 98, No. 3–4, pp. 243–261, 1999.
- [4] B. N. Rao, S. Rahman, An interaction integral method for analysis of cracks in orthotropic functionally graded materials, *Computational Mechanics*, Vol. 32, No. 40–51, 2003.
- [5] J-H. Kim, G. H. Paulino, The interaction integral for fracture of orthotropic functionally graded materials: Evaluation of stress intensity factors, *International Journal of solids and structures*, Vol. 40, No. 15, pp. 3967–4001, 2003.
- [6] J-H. Kim, G. H. Paulino, Mixed-mode J-integral formulation and implementation using graded finite elements for fracture analysis of nonhomogeneous orthotropic materials, *Mechanics of Materials*, Vol. 35, No. 1–2, pp. 107–128, 2003.
- [7] J-H. Kim, G. H. Paulino, Mixed-mode fracture of orthotropic functionally graded materials using finite elements and the modified crack closure method, *Engineering Fracture Mechanics*, Vol. 69, No. 14–16, pp. 1557–1586, 2002.
- [8] J. Chen, Determination of thermal stress intensity factors for an interface crack in a graded orthotropic coating-substrate structure, *International Journal of Fracture*, Vol. 133, No. 4, pp. 303–328, 2005.
- [9] S. Dag, Mixed-mode fracture analysis of functionally graded materials under thermal stresses: a new approach using J<sub>k</sub>-integral, *Journal of Thermal Stresses*, Vol. 30, pp. 269–296, 2007.
- [10] S. Dag, B. Yildirim, S. Topal, Computational Methods for Inclined Cracks in Orthotropic Functionally Graded Materials Under Thermal Stresses, *Journal of Thermal Stresses*, Vol. 36, No. 10, pp. 1001–1026, Oct. 2013.
- [11] H. Bayesteh, S. Mohammadi, XFEM Fracture Analysis of Orthotropic Functionally Graded Materials, *Compos. Part B Eng.*, Vol. 44, No. 1, pp. 8–25, 2013.
- [12] E. Goli, M. T. Kazemi, XFEM Modeling of Fracture Mechanics in Transversely Isotropic FGMs via Interaction Integral Method, *Proc. Mater. Sci.*, Vol. 3, pp. 1257–1262, 2014.
- [13] H. Bayesteh, A. Afshar, S. Mohammadi, Thermo-Mechanical Fracture Study of Inhomogeneous Cracked Solids by the Extended Isogeometric Analysis Method, *Eur. J. Mech.-A/Solids*, Vol. 51, pp. 123–139, 2015.
- [14] G. Bhardwaj, I. V. Singh, B. K. Mishra, T. Q. Bui, and Numerical Simulation of Functionally Graded Cracked Plates Using NURBS based XIGA under Different Loads and Boundary Conditions, *Compos. Struct.*, Vol. 126, pp. 347–359, 2015.
- [15] M. Shariati, M. Majidzadeh, M. B. Nazari, Determination of stress intensity factors in cracked FGM rectangular plates by element-free Galerkin method, *Journal of Mechanical Engineering*, Vol. 40, No. 1, pp. 55–66, 1389. (in Persian فارسی)
- [16] M. B. Nazari, M. Shariati, M. R. Eslami, B. Hassani, Meshless Analysis of Cracked Functionally Graded Plates under Thermal Loading, *Aerospace mechanics journal*, Vol. 9, No. 4, pp. 1–16, 1392. (in Persian فارسی)
- [17] M. Pant, I. V. Singh, B. K. Mishra, Numerical Simulation of Thermo-Elastic Fracture Problems Using Element Free Galerkin Method, *Int. J. Mech. Sci.*, Vol. 52, No. 12, pp. 1745–1755, 2010.
- [18] V. P. Nguyen, T. Rabczuk, S. Bordas, M. Duflot, Meshless Methods: A Review and Computer Implementation Aspects, *Math. Comput. Simul.*, Vol. 79, No. 3, pp. 763–813, 2008.
- [19] H. Koohkan, G. Baradaran, R. Vaghefi, A Completely Meshless Analysis of Cracks in Isotropic Functionally Graded Materials (Petrov–

- Galerki), Proc. Inst. Mech. Eng. Part C: *J. Mech. Eng. Sci.*, Vol. 224, pp. 581–590, 2009.
- [20] S. Garg, M. Pant, Numerical simulation of adiabatic and isothermal cracks in functionally graded materials using optimized element-free Galerkin method, *Journal of Thermal Stresses*, Vol. 40, No. 5, pp 1-20, 2017.
- [21] S. G. Lekhnitskii, Anisotropic plates, Gordon and Breach Science Publishers, New York, 1968.
- [22] G. C. Sih, P. C. Paris, G. R. Irwin, On cracks in rectilinearly anisotropic bodies. *International Journal of Fracture*, Vol. 1, No. 2, pp. 189–203, 1965.
- [23] T. Belytschko, Y. Krongauz, D. Organ, M. Fleming, P. Krysl, Meshless methods: an overview and recent developments, *Computer methods in applied mechanics and engineering*, Vol. 139, No. 1-4, pp. 3–47, 1996.
- [24] N. Konda, F. Erdogan, The mixed mode crack problem in a nonhomogeneous elastic medium, *Engineering Fracture Mechanics*, Vol. 47, pp. 533–45, 1994.
- [25] S. Krenk, On the elastic constants of plane orthotropic elasticity, *Journal of Composite Materials*, Vol. 13, pp. 108–116, 1979.